переход поверхностного комплекса CuL_n^{2-n} в раствор. Для силикагеля марки КСС, в случае Ni и Cu (II), наблюдалось образование билигандных комплексов, причем на поверхности силикагеля КСС устойчивость аммиачных комплексов меди выше, чем на поверхности ШСК-силикагеля.

Известно, что замещение ионов водорода на ионы металлов приводит к образованию на поверхности льюисовских кислотных центров, которые способны быть акцепторами электронов при взаимодействии с электронодорными молекулами или ионами при образовании поверхностных адсорбционных комплексов. Сила этих центров определяется константой устойчивости поверхностного комплекса.

- 1. Образование и свойства комплексов переходных металлов на поверхности окисных адсорбентов. Сб. науч. трудов. Л.: ЛГПИ, 1979. 80с.
- 2. Боков Н.Т. Термодинамика образования роданидных, хлоридных и бромидных комплексов кобальта (II) на поверхности пористого стекла и в растворах метилового спирта: Дис. ... канд. хим. наук / ЛГПИ. Ленинград, 1974. 126с.

ДИМЕРИЗАЦИЯ HNOO В СОСТОЯНИЯХ РАЗЛИЧНОЙ МУЛЬТИПЛЕТНОСТИ

Птицына А.А., Талипов М.Р., Хурсан С.Л., Сафиуллин Р.Л. Институт органической химии УНЦ РАН 450054, г. Уфа, пр. Октября, д. 71

Нитрозооксиды - интермедиаты фотоокисления ароматических азидов, образуются при взаимодействии триплетных нитренов с кислородом. Высокая реакционная способность и отсутствие в системе субстрата окисления делает вероятным протекание димеризации HNOO в состояниях различной мультиплетности. Изучение термохимии данной реакции показало, что наиболее вероятно взаимодействие ¹HNOO и ³HNOO, $\Delta_r H^\circ = -50$ кДж/моль, $\Delta_r H^\neq = 29,3$ кДж/моль[1]. Учитывая возможность *цис-/транс-* изомерии молекул как на триплетной, так и на синглетной ППЭ [2], можем предположить, что протекание димеризации HNOO возможно по четырём направлениям: *цис-*¹HNOO + *транс-*³HNOO, *цис-*³HNOO + *транс-*¹HNOO, *транс-*¹HNOO + *транс-*³HNOO, *транс-*¹HNOO + *транс-*³HNOO, *транс-*¹HNOO + *транс-*³HNOO, *транс-*¹HNOO + *транс-*³HNOO.

В данной работе в приближении CASPT2/CASSCF(12;10)/6-311+G(d,p) было проведено сканирование ППЭ всех четырёх

направлений димеризации HNOO, были найдены переходные состояния и соответствующие им активационные барьеры (таблица 1).

Таблица 1.

Относительные величины активационных барьеров рекомбинации молекул HNOO

$\Delta ext{H}^{ eq}_{ ext{ }_{ ext{I}}}$, кДж/моль				
	$^{1}cis+^{3}cis$	¹ trans+ ³ trans	¹ trans+ ³ cis	¹ cis+ ³ trans
CASPT2	17,1	13,5	6,5	0

- В приближении CASSCF(6;6)/6-311+G(d,p)/CASPT2(6;6)/6-311+G(d,p) были установлены структуры продуктов димеризации по всем четырём направлениям. Далее было проведено детальное исследование ППЭ всех найденных структур:
- Релаксированное сканирование по диэдральному углу OONO.
 - Полная оптимизация найденых минимумов.
- Релаксированное сканирование оптимизированных структур по диэдральному углу NOON с последующей оптимизацией найденных минимумов.

В результате была найдена структура ациклического димера, соответствующая точке с минимальной энергией на исследуемой ППЭ (рис.1).

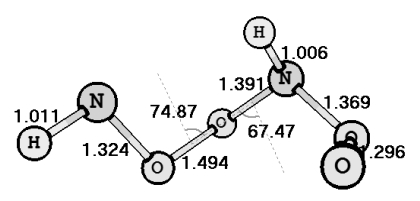


Рис.1 Структура цепочечного димера HNOO Работа поддержана грантом РФФИ: 09-03-00411

- 1. Птицына, А.А., Талипов М.Р., Хурсан С.Л., Сафиуллин Р.Л. // Вестник Башкирского университета, 2008. 13(3(I), 776-779.
- 2. Talipov, M.R., Khursan S.L., Safiullin R.L. // J. Phys. Chem., 2009, 113, 6468-6476